

II-448 気相中トリクロロエチレンの湿った固体廃棄物への吸着現象について

北海道大学工学部 学員○須賀研二* 学員 李 東勲
正員 田中信寿 正員 神山桂一

1. はじめに

最近、先進工業国ではトリクロロエチレン（以下TCEと書く）の様な非イオン性有機化合物が広い範囲の地下水層から検出されている。またこれらの物質は生物難分解性であり社会的にも関心が高まっている。また、アメリカやヨーロッパでは、都市廃棄物埋立処分地の浸出水や発生ガスからもその様な物質が検出されたという報告がかなりある⁽¹⁾。その様な背景から前報⁽²⁾では飽和水状態で廃棄物埋立処分地の廃棄物成分に対するTCEの吸着特性を調べる基礎的研究を行った。しかし、現在問題となっているTCEの様な非イオン性有機化合物は、揮発性物質であるため、実際には不飽和土壤層や廃棄物層では、ガス状態で存在すると考えられる。従って本研究では廃棄物埋立層（不飽和水分状態）内部でのガス状態のTCEの吸着現象や輸送現象について検討を行った。

2. 実験材料及び方法

実験材料は前報⁽²⁾と同様であり、適当な含水率に調整して冷蔵庫内に保管した。

2-1 回分式吸着平衡実験 実験方法は昨年と同様であり、分配係数を求める実験である。

2-2 連続式吸着-脱着速度実験 実験装置の概要を、図1に示す。所定量の吸着剤を適当な含水率に調整してカラム4に充填して標準ガス発生装置3から標準ガス（一定濃度のTCEを含んだN₂ガス）を下方より供給し上部のサンプリング口5より100 μLずつ採取し、濃度が標準ガスと同じか、あるいは一定になるまで分析を続ける（吸着実験）。平衡に達したカラム4をそのまま用い、N₂ガスのみ通気して濃度がほぼ一定になるまで分析を続ける（脱着実験）。なお実験はすべて20°Cで行った。

3. 結果及び考察

3-1 吸着等温線の線形性 前報では、液相中TCEの固体廃棄物への吸着に対する等温線は線形式で表わせると報告しているが、気相中TCEの湿固体廃棄物への吸着に対する等温線も線形式で表わせることが分かった。すなわち 吸着等温式は次のように表わせる。

$$S = K_p' C_6 \quad (1)$$

ここで、S:湿った固体廃棄物中の平衡吸着量[μg/g-wet]、K_{p'}:分配係数[L/g-wet]、C₆:気相の平衡濃度[μg/L]である。

3-2 含水率と分配係数の関係 含水率wに対するK_{p'}の実験結果を表1に示す。この表から含水率がほとんど0の場合を除いて、K_{p'}は含水率と共にわずかに減少するが、ほぼ一定の値をとっていることが分かる。K_{p'}は湿った固体廃棄物の分配係数であり、図2に示すような水、固相、気相の物理構造モデルに基づいて、次式のように水-固体

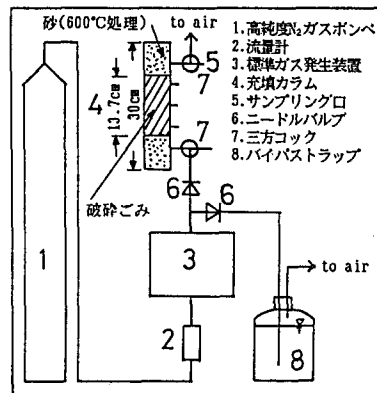


図-1 連続式吸着-脱着実験装置

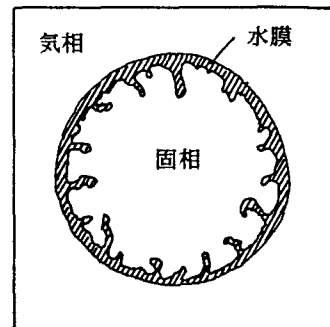


図-2 水-固-気 構造モデル

*現在：日本上下水道設計（株）

間の分配係数 K_p (前報) 及び水-気体間の分配係数 K_H (筆者らの実測によれば、純水に対して $K_H = 0.328$ (20°C)⁽³⁾) とから計算できる。ただし、この実験の範囲では ($w \neq 0$ を除いて) 水分中の TCE 量は無視できる。

$$K_p' = \gamma (K_p / K_H) (1 - w) \quad (2)$$

ここで γ は TCE の溶解に対する水中共存物質の影響を示す補正係数であり、共存物濃度が 0 の時は、 $\gamma = 1$ である。ここで実測の K_p' と一致するように γ を定めてみた。その結果を表 1 に示す。各収着剤毎に γ を定め式(2)により K_p' を求めなおしたのが表 1 中の K_p' (計算値) である。以上のことから、 w の極端に小さな所を除いては、 K_p' は、式(2)により、基本的な物性値である K_p や K_H から推定することができ、水中共存物濃度が高い場合には $\gamma = 0.5 \sim 0.65$ とし、低い場合には $\gamma = 1$ とすればよいと思われる。

3-3 連続式収着-脱着実験 実験結果の一例を図 3 (破過曲線)、図 4 (脱着曲線) に示す。図 3 にはガスの混合を示すために N_2 ガスの破過曲線も併せて示す。実験精度については検討の余地があるが、両曲線には大きなヒステリシスはなく、収着量と脱着量は等しく、収着量から計算される分配係数は回分式収着平衡実験による分配係数とほぼ等しい。

ガスの流れを押出流れとして TCE の濃度変化を示すモデル式を導出すると、

$$\partial \bar{C}_g / \partial \tau = \partial \bar{C}_g / \partial \xi - (1 - \varepsilon) / \varepsilon$$

$$\times \rho_{sw} \beta K_p' (\bar{C}_g - \bar{S}) \quad (3)$$

$$\partial \bar{S} / \partial \tau = \beta (\bar{C}_g - \bar{S}) \quad (4)$$

ここで、 \bar{C}_g :無次元気相中 TCE 濃度

($\equiv C_g / C_{g0}$)、 \bar{S} :無次元固相中 TCE 濃度 ($\equiv S / (K_p' C_{g0})$)、 $\beta \equiv$

$K_{gs} a_s L / u$ 、 τ :無次元時間 ($\equiv u t$

/L)、 ξ :無次元距離 ($\equiv z / L$)、 $K_{gs} a_s$:物質移動容量係数 [h^{-1}]、 ε :気相率 [-]、 ρ_{sw} :湿固体密度 [g/cm^3]、L:廃棄物充填長さ [cm]、u:ガスの間隙流速 [cm/h]、t:時間 [h]、z:流れ方向距離 [cm]、 C_{g0} :入口の気相中 TCE 濃度 [$\mu g/L$] である。上式において、パラメータ β のみが未知であるので、 β を変えて破過曲線を計算した。その結果を図 3 に線で示す。これから、 $K_{gs} \cdot a_s$ を求める約 $0.8 h^{-1}$ となつた。

本研究は文部省科学研究補助金を受けている。

引用文献 (1) 例えば、Gretchen V. Sabel and Thomas P. Clark; Was. Mangt. & Res., 2, 119/130 (1984) (2) 李、田中、神山;衛生工学研究論文集、25、15/20 (1989) (3) 李、田中、神山; 水質汚濁研究に投稿中

表-1 K_p' と w の関係(20°C)

収着剤	K_p (cm^3/g)	含水率 w (%)	K_p' (cm^3/g)		補正係数 γ	
			実験値	計算値	実験値	平均値*
埋立焼却灰 <0.5mm	35.0	1.8	188.0	-	(1.794)	
		11.2	154.5	-	(1.631)	
		19.2	81.2	86.2	0.942	0.977
		21.6	84.7	83.7	1.012	
破碎ごみ <0.5mm	11.0	0.1	27.9	-	(0.833)	
		1.2	20.6	21.5	0.621	
		11.9	18.6	19.1	0.629	0.648
		20.0	19.3	17.4	0.719	
		21.8	16.3	17.0	0.621	
焼却灰A <0.5mm	17.0	0.06	27.7	27.1	(0.535)	
		11.7	25.2	23.9	0.551	
		18.8	20.8	22.0	0.494	0.523
		21.2	21.4	21.4	0.524	
焼却灰B <0.5mm	11.4	0.6	29.0	-	(0.840)	
		5.3	20.0	20.9	0.608	
		10.2	18.4	19.8	0.589	0.635
		17.1	19.8	18.3	0.687	
		23.7	17.4	16.8	0.656	

*: 左らんの()値を除いた平均値

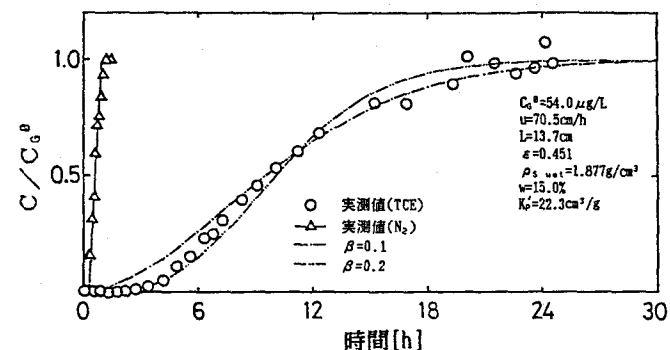


図-3 破過曲線(破碎ごみ)及びシミュレーション結果

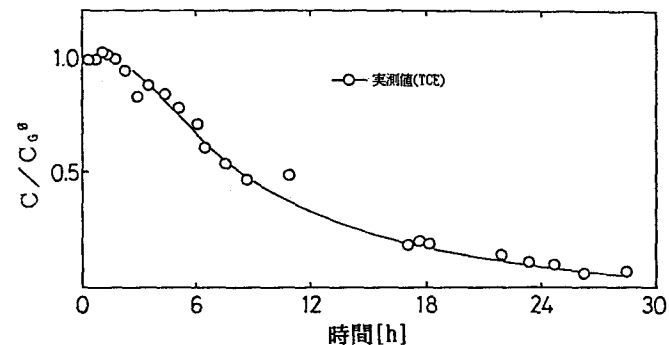


図-4 脱着曲線(破碎ごみ)